

強震動予測手法に関するベンチマークテスト：数値解析手法の場合（その2）

BENCHMARK TESTS FOR STRONG GROUND MOTION PREDICTION METHODS: CASE FOR NUMERICAL METHODS (PART 2)

吉村智昭 — *1 永野正行 — *2
久田嘉章 — *3 青井 真 — *4
早川 崇 — *5 Seckin Ozgur Citak — *6
松島信一 — *7 川辺秀憲 — *8
上林宏敏 — *9

Chiaki YOSHIMURA — *1 Masayuki NAGANO — *2
Yoshiaki HISADA — *3 Shin AOI — *4
Takashi HAYAKAWA — *5 Seckin Ozgur CITAK — *6
Shinichi MATSUSHIMA — *7 Hidenori KAWABE — *8
Hiroto UEBAYASHI — *9

キーワード：
地震動、断層モデル、ベンチマークテスト、数値シミュレーション、有限差
分法、有限要素法

Keywords:
Seismic ground motion, Fault model, Benchmark test, Numerical simulation,
Finite difference method, Finite element method

We performed a benchmark test for strong motion simulation methods using numerical methods (finite difference method and finite element method). We considered a four-layered model, a symmetric basin model and a slant basement basin model. All the results calculated by six teams from different institutions generally show good agreement to each other. We found minor differences of phase arrival time between institutions and minute differences between FDM and FEM for some models.

1. はじめに

構造物の設計用地震動として用いるサイト波を計算するため、断層モデルを考慮した強震動予測手法が体系化されつつある¹⁾²⁾。その中で、数値解析手法（三次元有限差分法や三次元有限要素法）は長周期成分を計算する手法としてよく用いられる。関東、濃尾、大阪平野の堆積盆地構造といった不整形な地盤が考慮でき、海溝型巨大地震の長周期地震動なども波動論に基づき精度良く計算できる。ただし、地盤モデルや震源モデルの設定の違いにより、計算結果がかなり異なるという問題点がある。また、手法の特性や各プログラムの計算条件による違いもある。

そこで、本ベンチマークテストでは、2009年度より3年計画で、複数の機関がそれぞれ保有する計算コードを用いて、同一の震源と地盤モデルで強震動の計算を行い比較している。既報³⁾のとおり、2009年度は、6チームが参加し、米国での Day et al. (2001, 2003)⁴⁾による Code Test を踏襲し、半無限および2層の平行成層地盤を対象とした。ステップ1で点震源、ステップ2で面震源を考慮した。

本論文では、2年目となる2010年度に実施した検討結果を示す。地盤モデルをさらに複雑にし、4層地盤、対称盆地、傾斜基盤盆地を考慮した検討を行った。いずれも震源は点震源とした。6チームが参加し、対称盆地では Aki-Larner 法との比較も行った。

2. 検討モデルの全体概要

表1にステップ3、ステップ4で検討した5つの計算モデルの概要を示す。N31、N32モデルは4層地盤の検討を行った。以前のステ

ップ1、ステップ2で用いたモデルは2層地盤 ($V_s=2000\text{m/s}$, 3464m/s)であった。今回の検討では、実務的に必要となる工学的基盤 ($V_s=400\text{m/s}$)まで考慮して正しく計算されるか調べた。地盤減衰を考慮し、震源は点震源とした。N31の震源はモデル中央に配置した。N32は境界寄りに配置し、反射波の影響を調べた。有効振動数が2.5Hz確保されるように格子間隔や要素サイズを調節とした。地表面の19点または21点を提出し相互比較した。

N33モデル以降は堆積盆地構造を対象とした。このような不整形地盤は、平行成層を対象とした理論的手法や統計的グリーン関数法では考慮出来ず、数値解析手法の大きな利点である。N33モデルでは台形状の対称盆地を考慮した。N41、N42モデルでは、基盤が傾斜した非対称な盆地構造を考慮した。点震源C、Dとは、傾斜の深い方と浅い方に配置して違いを調べた。減衰を考慮し、有効振動数は2.5Hz、出力点は21点とした。

表1 検討モデル一覧

モデル名	ステップ3			ステップ4	
	N31	N32	N33	N41	N42
地盤	4層地盤		対称盆地	傾斜基盤盆地	
減衰	あり			あり	
震源	点震源A	点震源B	点震源C	点震源C	点震源D
有効振動数	0~2.5Hz			0~2.5Hz	
出力点	21点	19点	21点	21点	21点

*1 大成建設(株)技術センター 主任研究員・博士(工学)
(〒245-0051 横浜市戸塚区名瀬町344-1)

*2 東京理科大学 理工学部建築学科 教授・博士(工学)

*3 工学院大学 建築学部 まちづくり学科 教授・工学博士

*4 (独)防災科学技術研究所 地震・火山防災研究ユニット 主任研究員・博士(理学)

*5 清水建設(株)技術研究所 主任研究員・工学

*6 (独)海洋研究開発機構 地震津波・防災研究プロジェクト 特任技術研究
副主任・博士(工学)

*7 京都大学 防災研究所 准教授・博士(工学)

*8 京都大学 原子炉実験所 助教・博士(工学)

*9 京都大学 原子炉実験所 准教授・工学博士

*1 Senior Research Engineer, Taisei Corporation, Dr. Eng.

*2 Prof., Tokyo University of Science, Dr. Eng.

*3 Prof., Dept. Urban Design and Planning, Kogakuin University, Dr. Eng.

*4 Senior Researcher, National Research Institute for Earth Science and
Disaster Prevention, Dr. Sci.

*5 Senior Research Engineer, Shimizu Corporation, M. Eng.

*6 Deputy Senior Researcher, Japan Agency for Marine-Earth Science and
Technology, Dr. Eng.

*7 Assoc. Prof., DPRI, Kyoto University, Dr. Eng.

*8 Assist. Prof., Research Reactor Inst., Kyoto University, Dr. Eng.

*9 Assoc. Prof., Research Reactor Inst., Kyoto University, Dr. Eng.

3. N31, N32 モデル(4層地盤)

計算領域は、図1に示すように右手系のデカルト座標で、+Xを北、+Yを東、+Zを鉛直下方にとり、吸収ゾーンを除いて、30km×30km×17km (-15≤X≤15, -15≤Y≤15, -17≤Z≤0: 単位 km) とした(図1では、4分の1を示す)。4層地盤を考慮し、物性値を表2のように設定した。最下層(Vs=3464m/s)は地震基盤であり、最上層(Vs=400m/s)は工学的基盤である。Q値は振動数f(Hz)に比例するとした。

震源は、N31ではモデル中央の深さ2km、即ち(X, Y, Z)=(0, 0, 2)(km)に、N32では(6, 8, 2)(km)にダブルカップル点震源を配置した。モーメント・テンソルの非ゼロ成分はMxy(=Myx)のみとした。断層メカニズムで書くと、(strike, dip, rake)=(0°, 90°, 0°) または(90°, 90°, 180°)となり、横ずれ断層に相当する。地震モーメントはMo=10¹⁸Nmとした。

モーメント・レート $\dot{M}(t)$ はガウス型とし、(1)式で与えた(図2aに図示する)。

$$\dot{M}(t) = M_0 \cdot \frac{1}{\sqrt{2\pi}\sigma} \cdot \exp\left(-\frac{(t-\mu)^2}{2\sigma^2}\right), \sigma=0.2(\text{s}), \mu=4\sigma=0.8(\text{s}) \quad \dots(1)$$

ここで、tは時刻(s)、σ、μは定数である。μがピークの時刻を与える。(1)式はtを小さくしても完全に0にならないので、便宜的にピークから4σ(0.8秒)を破壊開始時刻とした。ライズタイムは8σ(1.6秒)となる。

なお、(1)式のフーリエ変換は(2)式となる(図3に図示する)。

$$\dot{M}(\omega) = M_0 \cdot \exp\left(-\frac{(\sigma \cdot \omega)^2}{2}\right) \cdot \exp(i\omega \cdot \mu) \quad \dots(2)$$

ここでiは虚数単位である。

モーメントの時刻歴関数M(t)は(3)式となる(図2bに図示する)。

$$M(t) = M_0 \cdot \frac{1}{2} \left(1 + \operatorname{erf}\left(\frac{t-\mu}{\sqrt{2}\sigma}\right)\right), \sigma=0.2(\text{s}), \mu=4\sigma=0.8(\text{s}) \quad \dots(3)$$

ここでerf()は誤差関数であり、(4)式で表される。

$$\operatorname{erf}(x) = \frac{2}{\sqrt{\pi}} \int_0^x \exp(-t^2) dt \quad \dots(4)$$

なお、前回のステップ1, 2では指数型のモーメント・レート関数を用いたが、立ち上がりに高振動数成分が多く、差分法で高振動数ノイズが出やすかったので、今回は滑らかなガウス型にした。

計算結果は、時間刻み0.01秒の速度の時刻歴波形(単位 m/s)を、自由表面上のベクトル(X, Y, Z)=(0.6, 0.8, 0)(km)に沿う1km間隔の21点、-010(-6, -8, 0)(km)~+010(6, 8, 0)(km)について提出するとした。提出成分は、X, Y成分を(5)(6)式で変換したRadial成分(R)、Transverse成分(T)とUD成分(Upを+, Downを-)とした。

-010~-001点(X<0, Y<0)の変換式:

$$R = -0.6X - 0.8Y, T = +0.8X - 0.6Y \quad \dots(5)$$

+000~+010点(X≥0, Y≥0)の変換式:

$$R = +0.6X + 0.8Y, T = -0.8X + 0.6Y \quad \dots(6)$$

グリッドサイズは、有効振動数0~2.5Hzを確保するように決める。空間4次精度差分法の場合、1波長6グリッド必要とし、第1層でグリッド間隔Hを25mした場合、有効振動数は、f=Vs/(6H)=400/(6*25)=2.7Hzとなる。同様に、第2~4層では、H=50, 100, 200mとすると2.5Hz以上を確保でき、これらを推奨値とした。

境界処理は、モデルの側面と底面に幅2km以上の吸収ゾーン(反射波を低減するためにモデル周辺に設ける高減衰ゾーン。図1のAbsorbing Zone。)を設け、さらにモデル最外面には吸収境界(Absorbing boundary)を設けるとした。提出された結果は、図4に示す2.5Hzのローパスフィルターにかけた。

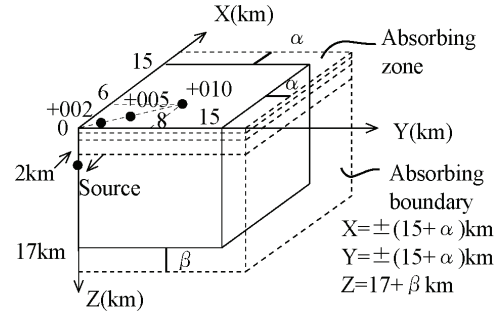
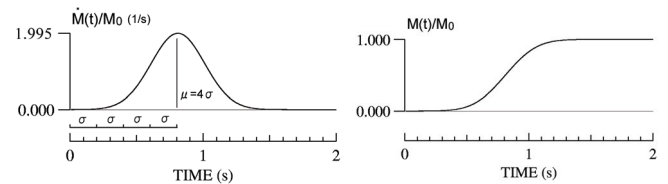


図1 N31, N32 (4層モデル)の概要(1/4対称部分)

表2 4層地盤(N31, N32)の物性値

層目	層厚 D (m)	P波速度 Vp (m/s)	S波速度 Vs (m/s)	質量密度 ρ (kg/m ³)	Q値	
					Qp	Qs
1層目	200	1600	400	2000	20f ^{1.0}	20f ^{1.0}
2層目	400	2600	1000	2400	30f ^{1.0}	30f ^{1.0}
3層目	1000	4000	2000	2600	40f ^{1.0}	40f ^{1.0}
4層目	∞	6000	3464	2700	70f ^{1.0}	70f ^{1.0}



(a) モーメント・レート関数

(b) モーメント関数

図2 モーメント・レートとモーメントの時刻歴関数(Moで基準化)

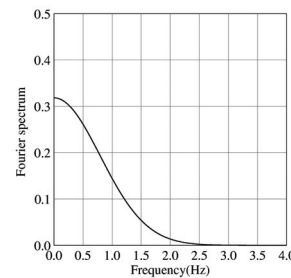


図3 モーメント・レート関数のフーリエ振幅スペクトル

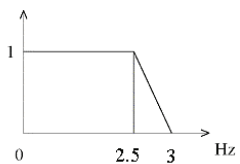


図4 ローパスフィルターのフーリエ振幅スペクトル

4. 各参加チームの手法と計算条件

表3に各参加チームの手法およびステップ3, 4の計算条件をまとめた。参加チームは、青井・永野・吉村・早川・Citak・松島・Graves、川辺の6チームである。手法は、吉村のみ三次元有限要素法であり、他は三次元有限差分法である。なお、これに加えて、N33のみ、上林が理論的手法(Aki-Larnaer法)との比較で参加している。参考文献の欄に各手法の詳細を記した文献を挙げている。

吸収ゾーンは、各チームとも2km以上との規定に従い、側面および底面に2~9kmの厚さで設けている。モデル最外面で人工的な反射波を除くため吸収境界を設けるが、差分法はClayton and Engquist¹⁴⁾の方法、有限要素法はLysmer and Kuhlemeyer¹⁵⁾の方法に従っている。吸収ゾーンでの波の減衰のさせ方は、青井、川辺はCerjan et al.¹⁶⁾の方法を用い、他はQ値で与えている。

グリッド間隔は、プログラムにより、水平方向または鉛直方向で可変かどうかで異なる。青井は水平、鉛直とも可変で、深さ1.25kmを境に、上部と下部でグリッド間隔を1:3としている。永野は水平、鉛直とも可変で、水平は深さ1kmまたは1.5kmを境に1:2にし、鉛直方向は細かく4~5段階に変化させている。吉村は有限要素法で柔軟性があり、4層地盤でも不整形の盆地モデルでも、物性値の分布にほぼ追従して要素サイズを変えている。早川と川辺は、水平は固定で、鉛直方向は可変である。Citakらは一様グリッドである。

有効振動数は、各チームとも規定の0~2.5Hzを満たすとしている。時間刻みは0.00125から0.0035sの値となっている。震源関数は、早川のみ三角形の重ね合わせで表現しており、他は連続関数を用いている。差分法では、指定震源の作用位置と実際の応力テンソルのグリッド位置が異なるが、作用点周りの複数の応力テンソルを組み合わせて作用中心が指定震源位置になるよう工夫しているチームが多い。吉村の有限要素法では四面体を用いているので、指定震

源の最寄りの四面体の重心が実際の作用位置である。減衰は、差分の多くのチームがGraves(1996)¹¹⁾に従い、吉村は質量比例減衰とし、Q値は振動数fの1乗に比例する。CitakらのみGraves & Day(2003)¹²⁾の方法で、fに対して一定のQを導入している。

5. N31 (4層地盤) の結果

紙面の都合によりステップ3はN31の結果を示す。図5に観測点+002、+005、+010(震央距離2、5、10km。図1参照。)におけるRadial成分の速度波形の比較を示す。久田の波数積分法¹⁷⁾による理論波形をリファレンスとして点線で示す。大局的には、各チームともほぼ理論波形と一致しており、実用的には同等の結果が得られているといえる。但し、微細に見ると、永野、吉村は理論値と一致度が高いが、他は理論値に対して僅かに位相が早い(波の到達が早い)。

前報³⁾の2層地盤の検討では、層境界のグリッドに上層の物性値、下層の物性値、その平均値のいずれを配置するかで位相差が見られた。今回の検討で各チームのモデル化を確認すると、早川は上層の値、永野とCitakらは平均値、青井と川辺は下層の値であった。吉村の有限要素法は、要素に物性値を与えるので、問題の層境界に忠実である。波の到達時刻が、青井・川辺<永野・Citak<早川となるが期待されたが、4層地盤では2層地盤のように単純な結果とはならなかった。

表3 各参加チームの手法と計算条件

参加チーム	青井	永野	吉村	早川	Citak, 松島, Graves	川辺	上林
手法	差分法	差分法	有限要素法	差分法	差分法	差分法	AL法
参考文献	Aoi&Fujiwara(1999) ⁵⁾ 青井・藤原(1998) ⁶⁾ 青井・ほか(2004) ⁷⁾	永野(2004) ⁸⁾	Bao(1998) ⁹⁾	Pitarka(1999) ¹⁰⁾	Graves(1996) ¹¹⁾ Graves&Day(2003) ¹²⁾	Pitarka(1999) ¹⁰⁾	Uebayashi et al. (1992) ¹³⁾
吸収ゾーン 側面[底面]	N31, N32 N33 N41, N42	3 [4.5] km 3 [9] km 3 [9] km	2 [4] km 2 [4] km 2 [4] km	2.2 [2.2] km 2.2 [2.2] km 2.2 [2.2] km	2 [2] km 2 [2] km 2 [2] km	2 [8] km 2 [2] km 2 [2] km	
境界処理	吸収境界 吸収ゾーン	Clayton and Engquist(1977) Cerjan et al(1985)	Clayton and Engquist(1977) 40または80グリッドでQ=5~50に漸増	Lysmer and kuhlemeyer(1969) 吸収ゾーンの減衰は計算領域と同じ	Clayton and Engquist(1977) Q=25	Clayton and Engquist(1977) 40または80グリッドでQ=5~50に漸増	Clayton and Engquist(1977) Cerjan et al. (1985)
グリッド間隔	N31, N32 N33, N41, N42	25m(0≦Z≦1.25 km) 75m(1.25≦Z≦21.5 km)	(km) (水平) (上下) Z<1km 25m 25, 50, 100m Z>1km 100m 100, 200m	16.7, 33.3, 66.7, 133.3m 25m 25, 50, 100, 200m	(水平) (上下) 25m 25, 50, 100, 200m	25m 50m	(水平) (上下) 25, 50, 100, 200m (水平) (上下) 50m 50, 100m
有効振動数	N31, N32 N33, N41, N42	0~2.5Hz	0~2.5Hz	0~2.5Hz	0~2.5Hz	0~3.05Hz 0~3.88Hz	0~2.7Hz 0~2.9Hz
時間刻み	N31, N32 N33, N41, N42	0.0025s	0.0035s	0.0025s	0.00143s 0.0025s	0.00125s 0.0025s	0.002s 0.0025s
震源関数		連続関数	連続関数	連続関数	三角形重ね合わせ	連続関数	連続関数
指定震源位置に対する実際の震源位置	一致	周辺応力グリッドにモールドを重み付け配分	最寄りの四面体要素の重心	周囲の4つの応力グリッドに重み付け配分	一致	Mxx, Myy, Mzzは一致 他は半グリッドずれる	
減衰の導入法	Graves(1996)	Graves(1996)	質量比例減衰	Graves(1996)	Graves & Day(2003) (Qは振動数非依存)	Graves(1996)	

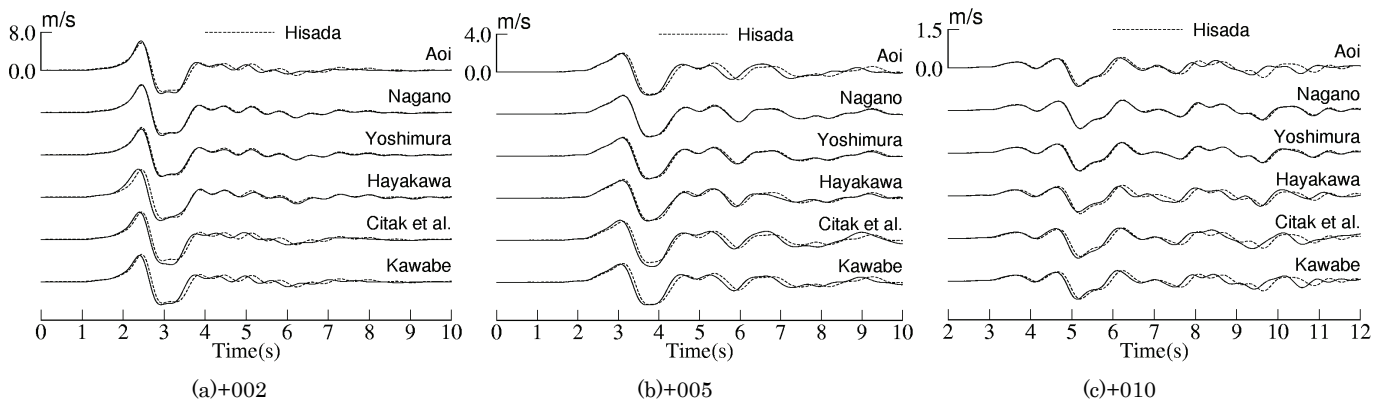


図5 N31のRadial成分の速度波形

6. N33 (対称地盤) の出題と結果

図6にN33モデルの平面図と断面図を示す(後述の傾斜基盤盆地も同時に示す)。堆積盆地の形状は、上林・他(1989)¹⁸⁾の台形盆地とした。盆地底部が $L_x=L_y=8\text{km}$ 、 \cos 関数を用いた傾斜部の幅が $V_x=V_y=2.4\text{km}$ 、地表に現れた幅は $L_x+2V_x=L_y+2V_y=12.8\text{km}$ 、深さは 1km である。水平位置(X, Y)での盆地底面の深さ分布 $Z(X, Y)$ を次式で与えた。

$$Z(X, Y) = H/4 \cdot (1 + \cos(\pi A(X))) (1 + \cos(\pi B(Y))) \quad \dots (7)$$

ただし、 $A(X) = (-L_x/2 - X)/V_x$ ($-L_x/2 - V_x < X < -L_x/2$ のとき)
 $A(X) = (X - L_x/2)/V_x$ ($L_x/2 < X < L_x/2 + V_x$ のとき)
 $A(X) = 1$ ($X < -L_x/2 - V_x$ または $X > L_x/2 + V_x$ のとき)
 $A(X) = 0$ ($-L_x/2 \leq X \leq L_x/2$ のとき)
 $B(Y) = (-L_y/2 - Y)/V_y$ ($-L_y/2 - V_y < Y < -L_y/2$ のとき)
 $B(Y) = (Y - L_y/2)/V_y$ ($L_y/2 < Y < L_y/2 + V_y$ のとき)
 $B(Y) = 1$ ($Y < -L_y/2 - V_y$ または $Y > L_y/2 + V_y$ のとき)
 $B(Y) = 0$ ($-L_y/2 \leq Y \leq L_y/2$ のとき)

表4に物性値を示す。堆積盆地は $V_s=1000\text{m/s}$ 、地震基盤は $V_s=3464\text{m/s}$ とした。震源は、点震源Cを盆地の南西角(X が北)の直下 3km 、即ち(X, Y, Z)= $(-6.4, -6.4, 3)$ (km)に置く。メカニズムは(strike, dip, rake)=(45, 90, 90)(度)とし、鉛直ずれ断層に相当する。地震モーメントは $M_0=10^{18}\text{Nm}$ とした。

盆地底部の堆積層と基盤が接する層境界上のグリッドの物性値は、

表4 対称盆地(N33)と傾斜基盤盆地(N41, N42)の物性値

	P波速度		S波速度		質量密度	Q値	
	V_p (m/s)	V_s (m/s)	ρ (kg/m^3)	Qp (flは振動数Hz)		Qs	
堆積盆地	2600	1000	2400	$30f^{1.0}$	$30f^{1.0}$		
基盤	6000	3464	2700	$70f^{1.0}$	$70f^{1.0}$		

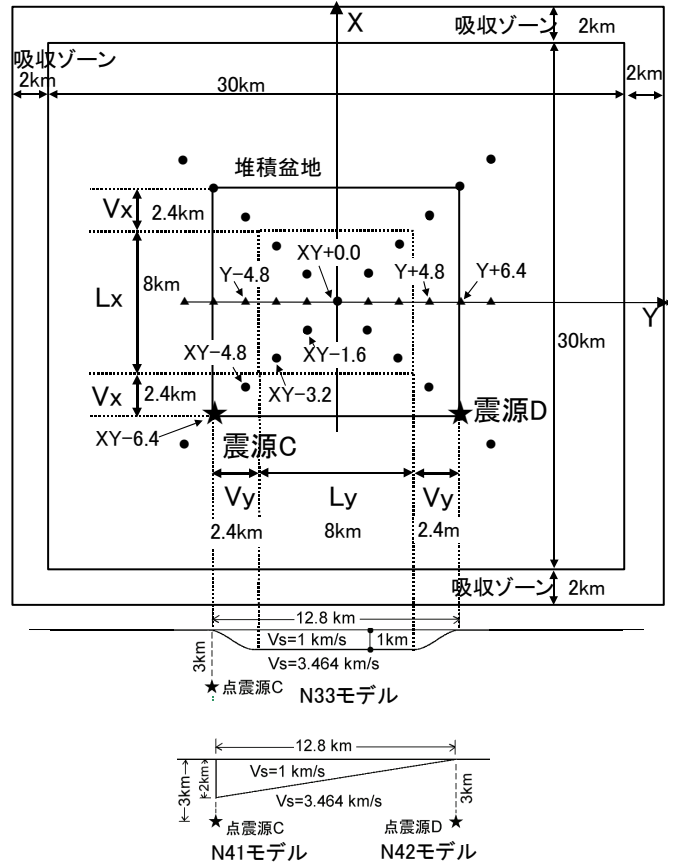


図6 対称盆地と傾斜基盤盆地の平面図と断面図($X=0$)

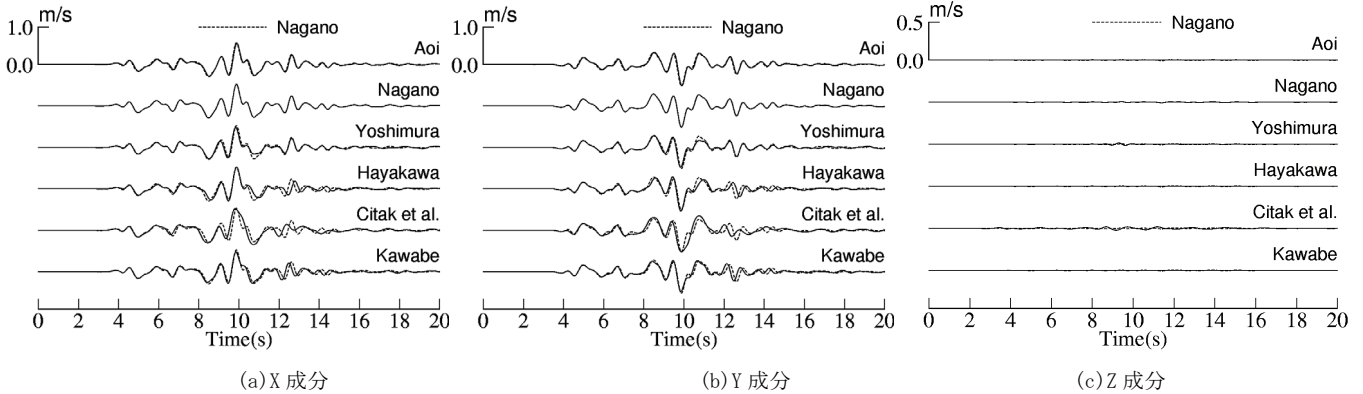


図7 N33のXY+0.0における速度波形

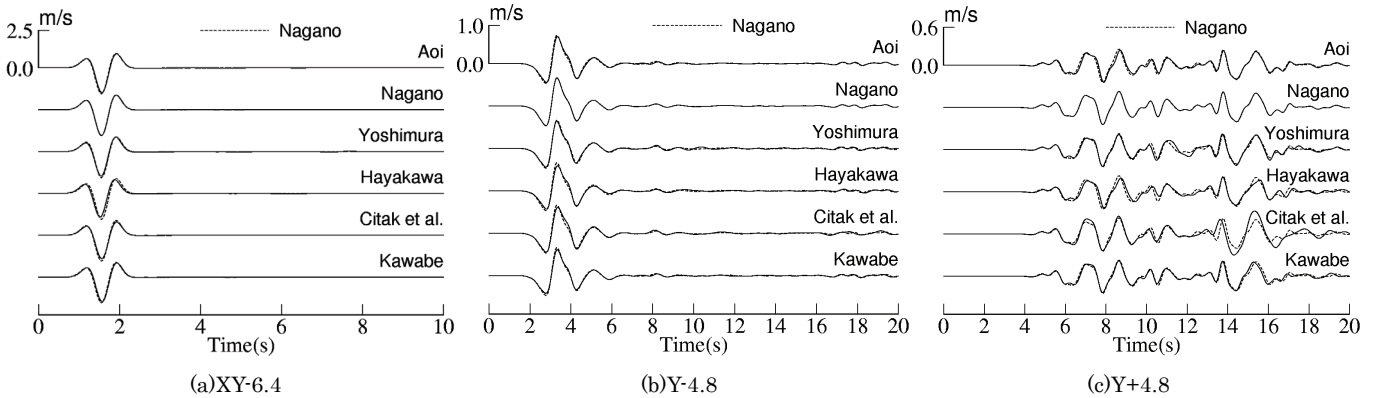


図8 N33のX成分の速度波形

プログラムの都合により、チームによりやや異なった。青井、永野は平均値、早川は上層の値、Citakらと川辺は下層の値になっている。吉村の有限要素法は、境界の上下で要素に物性値を与えている。

図7にモデル中央のXY+0.0地点(位置は図6参照)のX,Y,Z成分を示す。解析的な正解がないので、相対比較のため永野の結果をレファレンスとして点線で示した。実用的にはほぼ同等の結果が得られているといえる。図(a)(b)のX,Y成分を詳細にみると、永野、青井、吉村は比較的良好一致していた。XY+0.0では10秒付近以降は表面波が卓越しているが、早川は僅かに位相が遅れ、Citakらと川辺は僅かに位相が早い。これは盆地底部の層境界グリッドの物性値配置から予想される傾向と一致している。なお、Citakらは減衰が他チームと異なることによる違いも結果に含まれている。問題の対称性により、直線X=Y上ではZ成分がゼロとなることが期待されるが、図(c)を見ると各チームほぼゼロとなっており、十分精度が確保されていることがわかる。

図8は、その他の場所のX成分を示した。(a)のXY-6.4は震源直上の岩盤と盆地の境界部分であり、(b)のY-4.8はY軸上で震源側の傾斜部であり、いずれも実体波が卓越し、各チームともよく一致している。(c)はY軸上の震源と反対側の傾斜部で、15秒付近に盆地生成表面が観察されるが、減衰の違いの影響が含まれるCitakらを除いて、相互によく一致している。

N33モデルでは、不整形地盤が考慮できる理論的手法との比較という観点から、上林がAki-Larner法による計算を行った。図9に川辺の差分法との比較を示す。なお、(1)(3)式において $\sigma=0.4$ とした震源で計算している。X=Y上の5点でX成分を比較した。13秒以前の部分は両者でよく一致しており、間接的ながら、不整形地盤で数値解析手法の計算が正しく行われていることが支持される。なお、13秒以後、AL法で大きな波が到来しているが、これはAL法が水平方向に同じ地盤と震源が周期的に繰り返すモデルを解いており、隣の震源の影響が現れたためである。

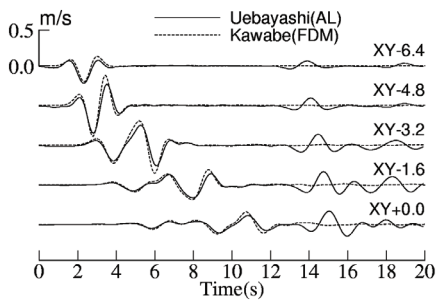


図9 Aki-Larner法と差分法の数値波形の比較

7. N41、N42 (傾斜基盤盆地) の出題と結果

N41、N42モデルの盆地の基盤深度Z(km)は(8)式で与えた。

$$Z(Y) = 1 - Y/6.4 \quad (-6.4 \leq Y \leq 6.4 \text{ km かつ } -6.4 \leq Y \leq 6.4 \text{ km}) \quad \dots (8)$$

$$Z(Y) = 0 \quad (\text{上記以外の範囲})$$

Y=-6.4kmで深さ2km、Y=6.4kmで深さ0kmとなる傾斜構造を有している。盆地堆積層と地震基盤の物性値は表4で示したN33のものと同じである。N41の震源はN33と同じである。

図10にN41の結果を示す。X=0上の3点におけるX成分の速度波形である。永野を相対比較のレファレンスとして点線で示す。(a)

のY-4.8では4秒付近にS波のピークが明瞭である。(b)XY+0.0の10秒付近、(c)Y+4.8の14秒付近では盆地生成表面波が伝播している。減衰の違いの影響が含まれるCitakらを除いて、各チームほぼ同じ結果が得られている。(c)を微細にみると、これまで理論波や永野の結果とよく一致していた吉村の結果で、少し差が現れた。

N42モデルは、地盤モデルはN41と同じであり、震源を基盤の浅い方の南東角に置いた。座標は(X,Y,Z)=(-6.4,6.4,3)(km)、メカニズムは(strike,dip,rake)=(-45,90,90)(度)で、地震モーメントはN41と同じである。

図11にN42の結果を示す。Y軸上で、震源に近い方の盆地と岩盤の境界の地点である(c)Y+6.4では、実体波の短いパルスが卓越しており、各チーム相互によく一致している。モデル中央の(b)XY+0.0では、吉村は僅かに位相が早くなっている。震源から遠い(c)Y=-4.8では、表面波が卓越する10秒以降で、僅かな位相差が見られる。吉村は少し波形が違っている部分も見られる。

吉村で差が見られた原因として、差分法と有限要素法の物性値の配置の違いが考えられる。図12に浅くなっている方の盆地端部の鉛直断面(X=0)を示す。差分法(永野)は50mグリッドの段差構造になっているのに対し、有限要素法(吉村)では33m幅の四面体要素で比較的滑らかに斜面をモデル化している。傾斜基盤が浅くなっている盆地端部の方がモデル化の差が大きく、震源をこの直下に置いたN42の方が強くその効果が現れている可能性も考えられる。

Citakらは、減衰の与え方が違うため、他のチームと差が目立った。そこで、N41モデルで地盤減衰をなしにして計算した。図13に結果を示す。青井、永野、吉村の結果とよく一致しており、これまでの差は減衰によることがわかる。

8. まとめ

数値解析手法(三次元有限差分法、三次元有限要素法)のベンチマークテストを実施した。6チームのプログラムを比較し、実用上ほぼ同等の結果が得られることを確認した。工学的基盤($V_s=400\text{m/s}$)を考慮した4層地盤、不整形地盤である対称盆地、傾斜基盤盆地でも精度良く計算されることを確認した。なお、詳細にみると、傾斜基盤盆地で有限要素法と差分法の差がみられた。原因として物性値配置の違いが考えられる。最終年度の2011年度は、関東平野などの実地盤を対象にベンチマークテストを実施する予定である。

謝辞

本研究は文科省・科研費・基盤研究(B)「設計入力地震動作成のための強震動予測手法の適用と検証」(代表:久田嘉章、平成21-23年度)の研究助成で行われ、日本建築学会・地盤震動小委員会(前主査:加藤研一、現主査:久田嘉章)及び工学院大学・総合研究所・都市減災研究センター(代表:久田嘉章)との連携のもと行われた。Robert W. Graves 博士にプログラムを提供頂いた。

参考文献

- 1) 日本建築学会: 最新の地盤震動研究を活かした強震波形の作成法, 2009.
- 2) 日本建築学会: 地震荷重一性能設計への展望, 「第II編 地震動評価の現状」, 2008.
- 3) 吉村智昭・他: 強震動予測手法に関するベンチマークテスト: 数値解析手法の場合(その1), 日本建築学会技術報告集, 第17巻, 第35号, pp. 67-72, 2011. 2.
- 4) Day, S. M., J. Bielak, D. Dreger, S. Larsen, R. Graves, A. Pitarka, K. B. Olsen, Tests of 3D Elastodynamic Codes, Final Report to Pacific

Earthquake Engineering Research Center, Lifelines Program TASK 1A01, pp.1-24, 2001, TASK 1A02, pp.1-32, 2003.

- 5) Aoi, S. and H. Fujiwara : 3-D finite difference method using discontinuous grids, Bulletin of the Seismological Society of America, Vol. 89, pp. 918-930, 1999.
- 6) 青井真・藤原広行: 不連続格子を用いた4次精度差分法による波形合成, 第10回日本地震工学シンポジウム論文集, Vol. 1, pp. 879-884, 1998.
- 7) 青井真・早川俊彦・藤原広行: 地震動シミュレータ: GMS, 物理探査, Vol. 57, No. 6, pp. 651-666, 2004.
- 8) 永野正行: グリッド間隔と時間刻みを可変とする3次元差分法を用いた2000年鳥取県西部地震時の神戸地域における強震動評価, 日本建築学会構造系論文集, 第580号, pp. 43-50, 2004. 6
- 9) Bao, H., J. Bielak, O. Ghattas, L. F. Kallivokas, D. R. O'Hallaron, J. R. Shewchuk, and J. Xu: Large-scale simulation of elastic wave propagation in heterogeneous media on parallel computers, Comput. Methods Appl. Mech. Engrg., 152, pp.85-102, 1998.
- 10) Pitarka, A.: 3D Elastic Finite-Differences Modeling of Seismic Motion Using Staggered Grids with Nonuniform Spacing, Bulletin of the Seismological Society of America, Vol.89, No.1, pp.54-68, 1999.
- 11) Graves, R., Simulating Seismic Wave Propagation in 3D Elastic Media Using Staggered-Grid Finite Differences, Bulletin of the Seismological Society of America, Vol. 86, No. 4, pp. 1091-1106, August 1996
- 12) Graves, R. and S. Day: Stability and Accuracy Analysis of Coarse-Grain Viscoelastic Simulations, Bulletin of the Seismological Society of America, Vol. 93, No. 1, pp. 283-300, February 2003.
- 13) Uebayashi H., M. Horike and Y. Takeuchi: Seismic motion in a three-dimensional arbitrary-shaped sedimentary basin, due to a rectangular dislocation source, J. Phys. Earth, 40, pp.223-240, 1992.
- 14) Clayton, R. and B. Engquist : Absorbing boundary condition for acoustic and elastic wave equations, Bull. Seism. Soc. Am., 67, pp.1529-1540, 1977.
- 15) Lysmer and Kuhlemeyer: Finite dynamic model for infinite media, J. of Engineering Mechanics Division, Proc. ASCE, Vol. 95, No. EM4, 859-876, 1969.
- 16) Cerjan, C., D. Kosloff, R. Kosloff and M. Reshef: A nonreflecting boundary

condition for discrete acoustic and elastic boundary condition, Geophysics, 50, pp.171-176, 1985.

- 17) 久田嘉章: 成層地盤における正規モード解およびグリーン関数の効率的な計算法, 日本建築学会構造系論文集, 第501号, pp. 49-56, 1997. 11.
- 18) 上林宏敏・堀家正則・竹内吉弘: 断層震源による不規則境界を有する三次元堆積盆地の地震応答, 平成元年度日本建築学会近畿支部研究報告集, pp. 65-68, 1989.

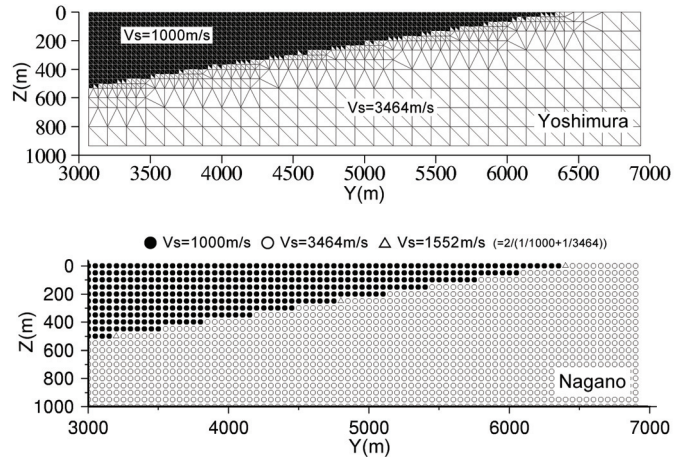


図12 傾斜基盤盆地の端部の物性値配置 (X=0 鉛直断面)

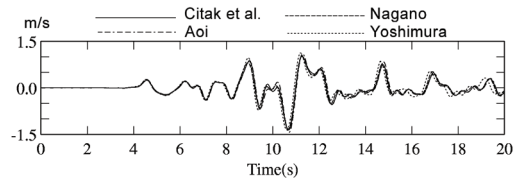


図13 N41で無減衰にした結果 (XY=0.0でのX成分)

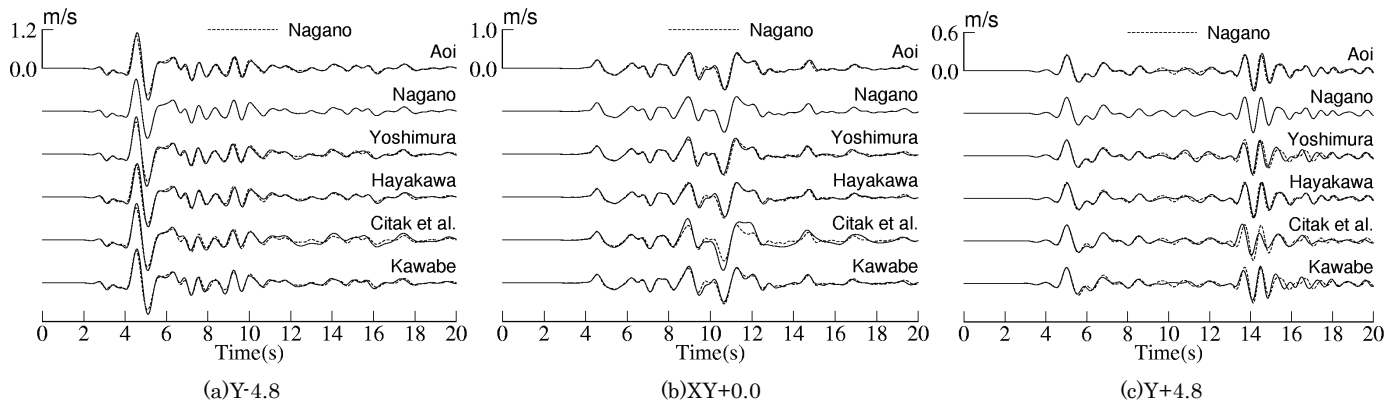


図10 N41の速度波形 (X成分)

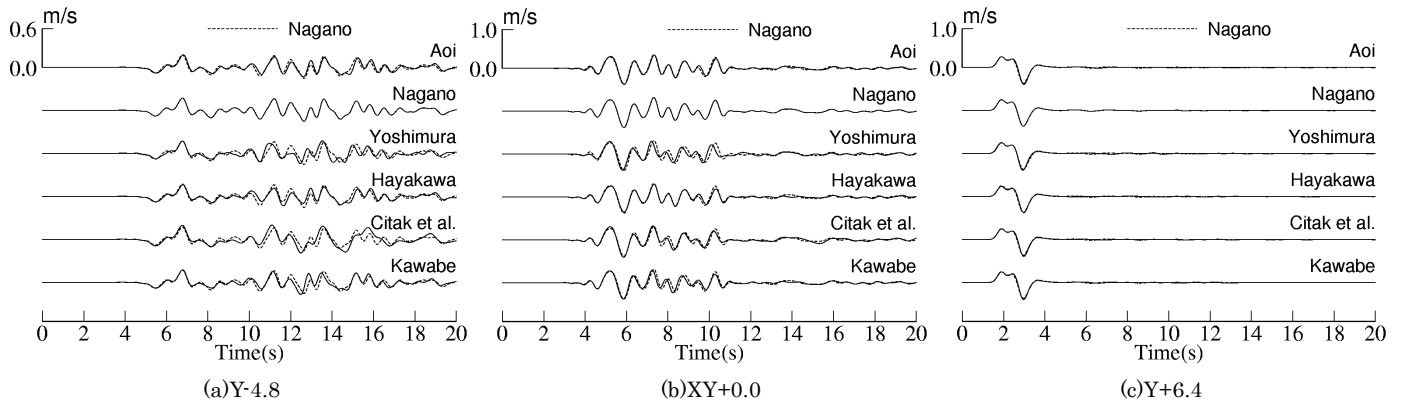


図11 N42の速度波形 (X成分)